





## 2. 室内土質試験データ

室内土質試験は、予測地点である計画地敷地境界付近のボーリング調査地点1と5について、圧密試験結果を以降に示す。

### ボーリング調査地点1

試料番号 (深さ)		T-1-1 (2.00~2.80m)	T-1-2 (4.00~4.80m)	T-1-3 (6.00~6.80m)	T-1-4 (15.00~15.80m)	T-1-5 (21.00~21.80m)	T-1-6 (26.00~26.80m)	
一般	湿潤密度 $\rho_t$ g/cm <sup>3</sup>	1.492	1.650	1.461	1.388	1.456	1.479	
	乾燥密度 $\rho_s$ g/cm <sup>3</sup>	0.819	1.069	0.757	0.642	0.743	0.795	
	土粒子の密度 $\rho_s$ g/cm <sup>3</sup>	2.566	2.641	2.626	2.627	2.619	2.631	
	自然含水比 $w_n$ %	82.2	54.5	93.0	116.2	96.0	86.0	
	間隙比 $e$	2.134	1.473	2.472	3.093	2.525	2.308	
	飽和度 $S_r$ %	98.8	97.7	98.8	98.7	99.6	98.0	
粒度	石分 (75mm以上) %							
	礫分 <sup>1)</sup> (2~75mm) %	0	0	0	0	0	0	
	砂分 <sup>1)</sup> (0.075~2mm) %	0	16	1	0	2	2	
	シルト分 <sup>1)</sup> (0.005~0.075mm) %	55	49	53	54	55	57	
	粘土分 <sup>1)</sup> (0.005mm未満) %	45	35	46	46	43	41	
	最大粒径 mm	0.106	0.850	0.250	0.106	0.250	0.250	
	均等係数 $U_c$	*	*	*	*	*	*	
コンシステンシー特性	液性限界 $w_L$ %	72.1	38.2	55.9	64.5	64.0	64.8	
	塑性限界 $w_p$ %	33.0	26.4	33.8	35.0	39.3	38.5	
	塑性指数 $I_p$	39.1	11.8	22.1	29.5	24.7	26.3	
分類	地盤材料の分類名	有機質粘土 (高液性限界)	砂質シルト (低液性限界)	シルト (高液性限界)	シルト (高液性限界)	シルト (高液性限界)	シルト (高液性限界)	
	分類記号	(OH)	(MLS)	(MH)	(MH)	(MH)	(MH)	
圧密	試験方法	段階載荷	段階載荷	段階載荷	段階載荷	段階載荷	段階載荷	
	圧縮指数 $C_c$	0.698	0.605	1.219	1.791	1.073	0.837	
	圧密降伏応力 $p_c$ kN/m <sup>2</sup>	45.3	67.0	71.6	92.6	138.6	177.5	
一軸圧縮	一軸圧縮強さ $q_u$ kN/m <sup>2</sup>	25.6	53.7	40.0	56.7	85.4	86.6	
	一軸圧縮強さ $qu$ kN/m <sup>2</sup>	30.5	40.3	36.2	47.4	89.1	90.8	
	一軸圧縮強さ $qu$ kN/m <sup>2</sup>							
	一軸圧縮強さ $qu$ kN/m <sup>2</sup>							
せん断	試験条件	UU	UU	UU	UU	UU	UU	
	全応力	$c$ kN/m <sup>2</sup>	13.8	25.5	19.2	25.7	43.7	42.9
		$\phi$ °	0.0	1.9	0.0	0.0	0.0	1.7
	有効応力	$c'$ kN/m <sup>2</sup>						
$\phi'$ °								

特記事項

1) 石分を除いた75mm未満の土質材料に対する百分率で表す。

[1kN/m<sup>2</sup>≒0.0102kgf/cm<sup>2</sup>]

ボーリング調査地点 5

試料番号 (深 さ)		T-5-1 (2.00~2.85m)	T-5-2 (4.00~4.85m)	T-5-3 (6.00~6.85m)	P-5-1 (9.00~9.50m)	P-5-2 (10.00~10.50m)	T-5-4 (15.00~15.85m)	
一般	湿潤密度 $\rho_t$ g/cm <sup>3</sup>	1.625	1.505	1.432			1.443	
	乾燥密度 $\rho_s$ g/cm <sup>3</sup>	1.023	0.865	0.723			0.739	
	土粒子の密度 $\rho_s$ g/cm <sup>3</sup>	2.616	2.512	2.599	2.681	2.677	2.598	
	自然含水比 $w_n$ %	59.0	74.4	98.1			95.4	
	間隙比 $e$	1.561	1.918	2.593			2.517	
	飽和度 $S_r$ %	98.9	97.5	98.3			98.4	
粒度	石分 (75mm以上) %							
	礫分 <sup>1)</sup> (2~75mm) %	0	0	0	3	3	0	
	砂分 <sup>1)</sup> (0.075~2mm) %	0	0	0	65	70	1	
	シルト分 <sup>1)</sup> (0.005~0.075mm) %	52	54	52	21	17	57	
	粘土分 <sup>1)</sup> (0.005mm未満) %	48	46	48	11	10	42	
	最大粒径 mm	0.106	0.106	0.106	9.5	9.5	0.250	
	均等係数 $U_c$	*	*	*	55.7	54.0	*	
コンシステンシー特性	液性限界 $w_L$ %	59.1	82.4	78.8			84.9	
	塑性限界 $w_P$ %	31.7	41.5	36.4			39.7	
	塑性指数 $I_p$	27.4	40.9	42.4			45.2	
分類	地盤材料の分類名	シルト (高液性限界)	シルト (高液性限界)	シルト (高液性限界)	粘性土質砂	粘性土質砂	シルト (高液性限界)	
	分類記号	(MH)	(MH)	(MH)	(SCs)	(SCs)	(MH)	
圧密	試験方法	段階載荷	段階載荷	段階載荷			段階載荷	
	圧縮指数 $C_c$	0.482	0.734	1.269			1.083	
	圧密降伏応力 $p_c$ kN/m <sup>2</sup>	45.4	87.7	64.6			111.9	
一軸圧縮	一軸圧縮強さ $q_u$ kN/m <sup>2</sup>	20.6	20.3	24.9			47.9	
	一軸圧縮強さ $qu$ kN/m <sup>2</sup>	18.2	21.9	29.0			51.6	
	一軸圧縮強さ $qu$ kN/m <sup>2</sup>							
	一軸圧縮強さ $qu$ kN/m <sup>2</sup>							
せん断	試験条件	UU	UU	UU			UU	
	全応力	$c$ kN/m <sup>2</sup>	10.6	11.2	13.8			25.1
		$\phi$ °	0.0	0.0	0.0			0.0
	有効応力	$c'$ kN/m <sup>2</sup>						
$\phi'$ °								

特記事項

1) 石分を除いた75mm未満の土質材料に対する百分率で表す。

[1kN/m<sup>2</sup>≒0.0102kgf/cm<sup>2</sup>]

試料番号 (深 さ)		T-5-5 (22.00~22.85m)				
一般	湿潤密度 $\rho_t$ g/cm <sup>3</sup>	1.661				
	乾燥密度 $\rho_s$ g/cm <sup>3</sup>	1.077				
	土粒子の密度 $\rho_s$ g/cm <sup>3</sup>	2.648				
	自然含水比 $w_n$ %	54.3				
	間隙比 $e$	1.460				
	飽和度 $S_r$ %	98.5				
粒度	石分 (75mm以上) %					
	礫分 <sup>1)</sup> (2~75mm) %	0				
	砂分 <sup>1)</sup> (0.075~2mm) %	30				
	シルト分 <sup>1)</sup> (0.005~0.075mm) %	46				
	粘土分 <sup>1)</sup> (0.005mm未満) %	24				
	最大粒径 mm	0.250				
	均等係数 $U_c$	*				
コンシステンシー特性	液性限界 $w_L$ %	46.1				
	塑性限界 $w_P$ %	29.5				
	塑性指数 $I_p$	16.6				
分類	地盤材料の分類名	砂質シルト (低液性限界)				
	分類記号	(MLS)				
圧密	試験方法	段階載荷				
	圧縮指数 $C_c$	0.644				
	圧密降伏応力 $p_c$ kN/m <sup>2</sup>	199.6				
一軸圧縮	一軸圧縮強さ $q_u$ kN/m <sup>2</sup>	57.4				
	一軸圧縮強さ $qu$ kN/m <sup>2</sup>	65.1				
	一軸圧縮強さ $qu$ kN/m <sup>2</sup>					
	一軸圧縮強さ $qu$ kN/m <sup>2</sup>					
せん断	試験条件	UU				
	全応力	$c$ kN/m <sup>2</sup>	32.6			
		$\phi$ °	2.7			
	有効応力	$c'$ kN/m <sup>2</sup>				
$\phi'$ °						

特記事項

1) 石分を除いた75mm未満の土質材料に対する百分率で表す。

[1kN/m<sup>2</sup>≒0.0102kgf/cm<sup>2</sup>]

調査件名 概略可能性調査その2業務委託 試験年月日 平成 21年 2月 23日

調査件名 概略可能性調査その2業務委託 試験年月日 平成 21年 2月 23日

調査件名 概略可能性調査その2業務委託

試験年月日 平成 21年 2月 23日

試験機 No.		直 径 D cm		含水比 w <sub>0</sub> %	
最低~最高室温	℃	断 面 積 A cm <sup>2</sup>	断 面 積 A cm <sup>2</sup>	初 期 含水量 w <sub>0</sub> %	試験後含水量 w <sub>0</sub> %
土質名称	種別(標準群)	高 さ H <sub>0</sub> cm	高 さ H <sub>0</sub> cm	状 態	状態
土粒子の密度 ρ <sub>s</sub> g/cm <sup>3</sup>	試 体	質 量 m <sub>0</sub> g	質 量 m <sub>0</sub> g	透 過 密度 ρ <sub>v</sub> g/cm <sup>3</sup>	透 過 密度 ρ <sub>v</sub> g/cm <sup>3</sup>
液性限界 w <sub>L</sub> %	体	圧 縮 指数 C <sub>c</sub>	圧 縮 指数 C <sub>c</sub>	飽 和 度 S <sub>w</sub> %	飽 和 度 S <sub>w</sub> %
塑性限界 w <sub>p</sub> %	供試体高さ H <sub>0</sub> cm	平均体積係数 m <sub>v</sub>	平均体積係数 m <sub>v</sub>	圧密状態力 P <sub>v</sub> kN/m <sup>2</sup>	圧密状態力 P <sub>v</sub> kN/m <sup>2</sup>
載荷圧密圧力 p	圧 密 量 ΔH	供試体高さ H	供試体高さ H	圧 縮 ひずみ 体積圧縮係数 m <sub>v</sub>	圧縮ひずみ 体積圧縮係数 m <sub>v</sub>
段階	cm	cm	cm	Δε = ΔH/H <sub>0</sub> × 100 %	平均圧力 P <sub>v</sub> kN/m <sup>2</sup>
0	0.0	2.0000	2.0000		1.796
1	4.9	0.0113	1.9944	0.567	6.02E-4
2	9.8	0.0140	1.9887	0.706	1.33E-3
3	19.6	0.0218	1.9747	1.110	1.05E-3
4	39.2	0.0464	1.9529	2.405	8.77E-4
5	78.4	0.0986	1.9065	5.309	9.41E-4
6	156.8	0.1330	1.8079	7.638	8.15E-4
7	313.6	0.1278	1.6749	7.933	8.15E-4
8	627.2	0.1286	1.5471	8.673	4.95E-4
9	4.9	-0.1317	1.4185	-8.872	2.58E-4
10			1.5502		1.63E-4

段階	平均圧密圧力 p <sub>v</sub> kN/m <sup>2</sup>	ε <sub>0</sub> min	圧密係数 c <sub>v</sub> cm <sup>2</sup> /d	透水係数 k cm/s	一次圧密 ΔH <sub>1</sub> cm	補正圧密係数 c' <sub>v</sub> = r <sub>c</sub> cm <sup>2</sup> /d	透水係数 k' cm/s
1	2.5	0.44	2759.8	3.63E-6	0.0054	0.478	1319.2
2	6.9	0.42	2854.5	4.67E-6	0.0042	0.300	856.4
3	13.9	1.79	657.7	8.44E-7	0.0094	0.431	283.5
4	27.7	1.84	617.8	8.63E-7	0.0160	0.345	213.1
5	55.4	3.48	302.6	4.64E-7	0.0441	0.447	135.3
6	110.9	4.92	188.2	2.08E-7	0.0707	0.532	100.1
7	221.7	4.13	191.8	1.10E-7	0.0696	0.545	104.5
8	443.5	3.15	213.1	6.70E-8	0.0670	0.521	111.0
9	55.4						

段階	平均圧密圧力 p <sub>v</sub> kN/m <sup>2</sup>	ε <sub>0</sub> min	圧密係数 c <sub>v</sub> cm <sup>2</sup> /d	透水係数 k cm/s	一次圧密 ΔH <sub>1</sub> cm	補正圧密係数 c' <sub>v</sub> = r <sub>c</sub> cm <sup>2</sup> /d	透水係数 k' cm/s
1	2.5	0.61	1996.0	1.36E-6	0.0018	0.305	608.8
2	6.9	0.13	9277.1	1.40E-5	0.0016	0.123	1141.1
3	13.9	2.09	567.4	6.76E-7	0.0086	0.426	241.7
4	27.7	2.46	469.1	4.67E-7	0.0149	0.446	209.2
5	55.4	3.03	360.9	3.86E-7	0.0268	0.384	138.6
6	110.9	8.28	119.5	1.11E-7	0.0511	0.531	63.5
7	221.7	8.87	96.9	5.45E-8	0.0738	0.567	54.9
8	443.5	6.33	115.8	3.39E-8	0.0713	0.568	65.8
9	55.4						

特記事項 H<sub>0</sub> = m<sub>v</sub> / (ρ<sub>s</sub> A) H = H<sub>0</sub> - ΔH H̄ = (H<sub>0</sub> + H) / 2 m<sub>v</sub> = (Δε / 100) / ΔP S<sub>w</sub> = w<sub>0</sub>ρ<sub>s</sub> / (e<sub>s</sub>ρ<sub>w</sub>)

特記事項 H<sub>0</sub> = m<sub>v</sub> / (ρ<sub>s</sub> A) H = H<sub>0</sub> - ΔH H̄ = (H<sub>0</sub> + H) / 2 m<sub>v</sub> = (Δε / 100) / ΔP S<sub>w</sub> = w<sub>0</sub>ρ<sub>s</sub> / (e<sub>s</sub>ρ<sub>w</sub>)

調査件名 概略可能性調査その2業務委託  
試験年月日 平成 21年 2月 23日

試験番号 (深さ) T-1-3 (6.00~6.80m) 試験者 倉持 淳

試験機 No. 最低~最高室温	C	直 径 D cm	断 面 積 A cm <sup>2</sup>	供 試 土質名称	供 試 土質名称	初 期 状 態	含 水 比 w <sub>0</sub> %	6.00 28.27	初 期 状 態	含 水 比 w <sub>0</sub> %	127.0 3.326	
												圧縮係数 C <sub>v</sub>
1	4.9	4.9	0.0037	1.9982	0.185	3.78E-4	2.404	2.397	1.9982	0.115	2.35E-4	3.321
2	9.8	9.8	0.0066	1.9930	0.331	6.76E-4	2.386	2.367	1.9937	0.200	4.08E-4	3.313
3	19.6	19.6	0.0110	1.9842	0.554	5.65E-4	2.367	2.334	1.9877	0.372	3.80E-4	3.297
4	39.2	39.2	0.0198	1.9688	1.006	5.13E-4	2.334	2.235	1.9900	0.490	2.50E-4	3.276
5	78.4	78.4	0.0582	1.9298	3.016	7.69E-4	2.235	1.868	1.9563	2.080	5.31E-4	3.188
6	156.8	156.8	0.2152	1.7831	12.002	1.53E-3	1.868	1.568	1.9977	0.269	1.31E-3	2.778
7	313.6	313.6	0.4304	1.5973	11.044	7.04E-4	1.568	1.329	1.9937	0.372	3.80E-4	3.297
8	627.2	627.2	0.8608	1.4388	9.772	3.12E-4	1.329	1.182	1.9900	0.490	2.50E-4	3.276
9	4.9	4.9	-0.1498	1.4434	-10.378	1.67E-4	1.182	2.260	1.9957	0.200	4.08E-4	3.313
10	4.9	4.9	0.1498	1.5183			1.584		1.9900	0.372	3.80E-4	3.297

特記事項

$H_s = m_v / (\rho_s \cdot A)$   
 $H = H' - \Delta H$   
 $\bar{H} = (H + H') / 2$   
 $m = (\Delta \epsilon / 100) / \Delta p$   
 $S_w = w_0 \rho_w / (c_s \rho_s)$   
 $\bar{p} = \sqrt{p \cdot p'}$   
 訂法:  $c_s = 305 \times \bar{H} / l_{c0}$   
~~訂法:  $c_s = 305 \times \bar{H} / l_{c0}$~~   
 $k = c_s \cdot m_v \gamma_w / (8.64 \times 10^4)$   
 $k' = c_s \cdot m_v \gamma_w / (8.64 \times 10^4)$   
 ただし,  $\gamma_w$  は 9.81 kN/m<sup>3</sup>

調査件名 概略可能性調査その2業務委託  
試験年月日 平成 21年 2月 23日

試験番号 (深さ) T-1-4 (15.00~15.80m) 試験者 倉持 淳

試験機 No. 最低~最高室温	C	直 径 D cm	断 面 積 A cm <sup>2</sup>	供 試 土質名称	供 試 土質名称	初 期 状 態	含 水 比 w <sub>0</sub> %	6.00 28.27	初 期 状 態	含 水 比 w <sub>0</sub> %	127.0 3.326	
												圧縮係数 C <sub>v</sub>
1	4.9	4.9	0.0023	1.9977	0.115	2.35E-4	3.321	3.321	1.9989	0.115	2.35E-4	3.321
2	9.8	9.8	0.0046	1.9957	0.200	4.08E-4	3.313	3.297	1.9957	0.200	4.08E-4	3.313
3	19.6	19.6	0.0092	1.9863	0.372	3.80E-4	3.297	3.276	1.9900	0.372	3.80E-4	3.297
4	39.2	39.2	0.0184	1.9766	0.490	2.50E-4	3.276	3.188	1.9815	0.490	2.50E-4	3.276
5	78.4	78.4	0.0368	1.9359	2.080	5.31E-4	3.188	2.778	1.9563	2.080	5.31E-4	3.188
6	156.8	156.8	0.1472	1.8414	10.269	1.31E-3	2.778	2.239	1.8414	10.269	1.31E-3	2.778
7	313.6	313.6	0.2944	1.6221	15.375	9.81E-4	2.239	1.882	1.6221	15.375	9.81E-4	2.239
8	627.2	627.2	0.5888	1.4148	11.677	3.72E-4	1.882	1.882	1.4148	11.677	3.72E-4	1.882
9	4.9	4.9	-0.1750	1.3322	-12.327	1.98E-4	1.882	2.260	1.4197	-12.327	1.98E-4	2.260
10	4.9	4.9	0.1750	1.5072			2.260		1.5072			2.260

特記事項

$H_s = m_v / (\rho_s \cdot A)$   
 $H = H' - \Delta H$   
 $\bar{H} = (H + H') / 2$   
 $m = (\Delta \epsilon / 100) / \Delta p$   
 $S_w = w_0 \rho_w / (c_s \rho_s)$   
 $\bar{p} = \sqrt{p \cdot p'}$   
 訂法:  $c_s = 305 \times \bar{H} / l_{c0}$   
~~訂法:  $c_s = 305 \times \bar{H} / l_{c0}$~~   
 $k = c_s \cdot m_v \gamma_w / (8.64 \times 10^4)$   
 $k' = c_s \cdot m_v \gamma_w / (8.64 \times 10^4)$   
 ただし,  $\gamma_w$  は 9.81 kN/m<sup>3</sup>

調査件名 概略可能性調査その2業務委託 試験年月日 平成 21年 2月 23日

試料番号 (深さ)		T-1-5 (21.00~21.80m)		試験者 倉持 淳	
試験機 No.	直 径 D cm	断 面 積 A cm <sup>2</sup>	高 さ H <sub>0</sub> cm	初 期 状態	含水比 w <sub>0</sub> %
0	0.0	2.0000	6.00	28.27	86.1
1	9.8	1.9986	2.00	2.00	2.312
2	19.6	1.9971	83.20	2.619	1.471
3	39.2	1.9883	44.71	64.0	97.5
4	78.4	1.9735	0.6039	39.3	1.073
5	156.8	1.9624	1.9986	0.0029	1.48E-4
6	313.6	1.9512	1.9927	0.0088	4.51E-4
7	627.2	1.8842	1.9809	0.0148	3.81E-4
8	1254.4	1.7866	1.9624	0.0223	2.90E-4
9	9.8	1.6890	1.9177	0.0670	4.46E-4
10	0.0	1.5024	1.9177	0.0670	4.46E-4
1	4.9	1.488	1.9177	0.0670	4.46E-4
2	13.9	1.488	1.9177	0.0670	4.46E-4
3	27.7	1.488	1.9177	0.0670	4.46E-4
4	55.4	1.488	1.9177	0.0670	4.46E-4
5	110.9	1.488	1.9177	0.0670	4.46E-4
6	221.7	1.488	1.9177	0.0670	4.46E-4
7	443.5	1.488	1.9177	0.0670	4.46E-4
8	887.0	1.488	1.9177	0.0670	4.46E-4
9	110.9	1.488	1.9177	0.0670	4.46E-4

特記事項  
 $H_0 = m_s / (\rho_s A)$   
 $H = H' - \Delta H$   
 $\bar{H} = (H + H') / 2$   
 $m = (\Delta v / 100) / \Delta p$   
 $S_w = w_0 v_s / (v_s v_w)$   
 $\bar{p} = \sqrt{p \cdot p'}$   
 $\sqrt{r}$ 法:  $\alpha = 305 \times \bar{H} / v_w$   
 $k = c_v m_s \gamma_w / (8.64 \times 10^4)$   
 $k' = c'_v m_s \gamma_w / (8.64 \times 10^4)$   
 ただし,  $\gamma_w = 9.81 \text{ kN/m}^3$   
 [1kN/m<sup>2</sup>=0.0102kgf/cm<sup>2</sup>]

調査件名 概略可能性調査その2業務委託 試験年月日 平成 21年 2月 23日

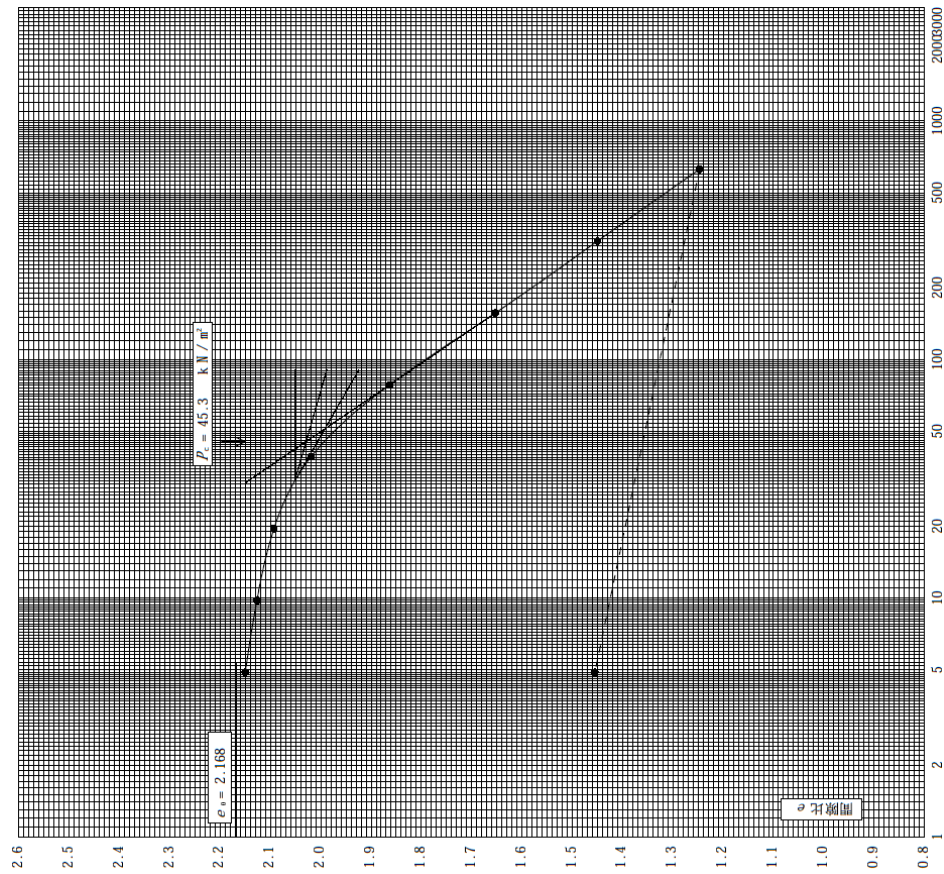
試料番号 (深さ)		T-1-6 (26.00~26.80m)		試験者 倉持 淳	
試験機 No.	直 径 D cm	断 面 積 A cm <sup>2</sup>	高 さ H <sub>0</sub> cm	初 期 状態	含水比 w <sub>0</sub> %
0	0.0	2.0000	6.00	28.27	85.0
1	9.8	1.9961	2.00	2.00	2.270
2	19.6	1.9885	84.17	2.631	1.488
3	39.2	1.9749	45.50	64.8	98.5
4	78.4	1.9517	0.6117	38.5	0.837
5	156.8	1.9097	1.9981	0.0039	1.99E-4
6	313.6	1.865	1.9923	0.0076	3.89E-4
7	627.2	1.7865	1.9817	0.0136	3.50E-4
8	1254.4	1.6327	1.9633	0.0232	3.02E-4
9	9.8	1.5037	1.9307	0.0420	2.77E-4
10	0.0	1.5037	1.9307	0.0420	2.77E-4
1	4.9	1.458	1.9307	0.0420	2.77E-4
2	13.9	1.458	1.9307	0.0420	2.77E-4
3	27.7	1.458	1.9307	0.0420	2.77E-4
4	55.4	1.458	1.9307	0.0420	2.77E-4
5	110.9	1.458	1.9307	0.0420	2.77E-4
6	221.7	1.458	1.9307	0.0420	2.77E-4
7	443.5	1.458	1.9307	0.0420	2.77E-4
8	887.0	1.458	1.9307	0.0420	2.77E-4
9	110.9	1.458	1.9307	0.0420	2.77E-4

特記事項  
 $H_0 = m_s / (\rho_s A)$   
 $H = H' - \Delta H$   
 $\bar{H} = (H + H') / 2$   
 $m = (\Delta v / 100) / \Delta p$   
 $S_w = w_0 v_s / (v_s v_w)$   
 $\bar{p} = \sqrt{p \cdot p'}$   
 $\sqrt{r}$ 法:  $\alpha = 305 \times \bar{H} / v_w$   
 $k = c_v m_s \gamma_w / (8.64 \times 10^4)$   
 $k' = c'_v m_s \gamma_w / (8.64 \times 10^4)$   
 ただし,  $\gamma_w = 9.81 \text{ kN/m}^3$   
 [1kN/m<sup>2</sup>=0.0102kgf/cm<sup>2</sup>]

JIS A JCS 0411	土の段階載荷による圧密試験 (圧縮曲線)	
-------------------	----------------------	--

調査件名 概略可能性調査その2業務委託 試験年月日 平成 21年 2月 23日

試験番号(深さ) T-1-1 (2.00~2.80m)	試験者 倉持 淳	
土粒子の密度 $\rho_s$ g/cm <sup>3</sup>	液性限界 $w_L$ %	塑性限界 $w_p$ %
2.566	72.1	33.0
初期含水比 $w_0$ %	初期空隙比 $e_0$	圧縮指数 $C_c$
83.6	2.168	0.698
圧密降伏応力 $p_v$ kN/m <sup>2</sup>	ひずみ速度 <sup>1)</sup> %/min	
45.3		



圧密圧力  $p$  (kN/m<sup>2</sup>)

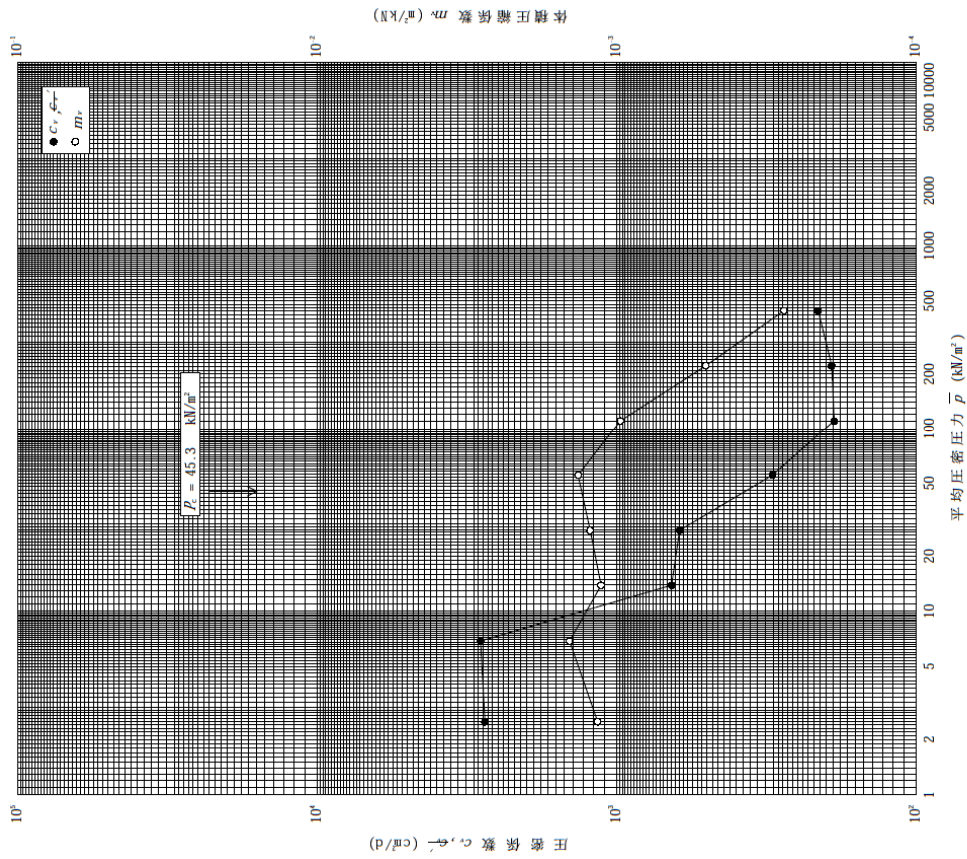
特記事項 1) 定ひずみ速度載荷による圧密試験の時のみ記入する。

[1kN/m<sup>2</sup>≒0.0102kgf/cm<sup>2</sup>]

JIS A 1217 JCS 0411	土の段階載荷による圧密試験 ( $C_c, m_v, \bar{p}$ 関係)	
------------------------	---	--

調査件名 概略可能性調査その2業務委託 試験年月日 平成 21年 2月 23日

試験番号(深さ) T-1-1 (2.00~2.80m)	試験者 倉持 淳
-----------------------------	----------



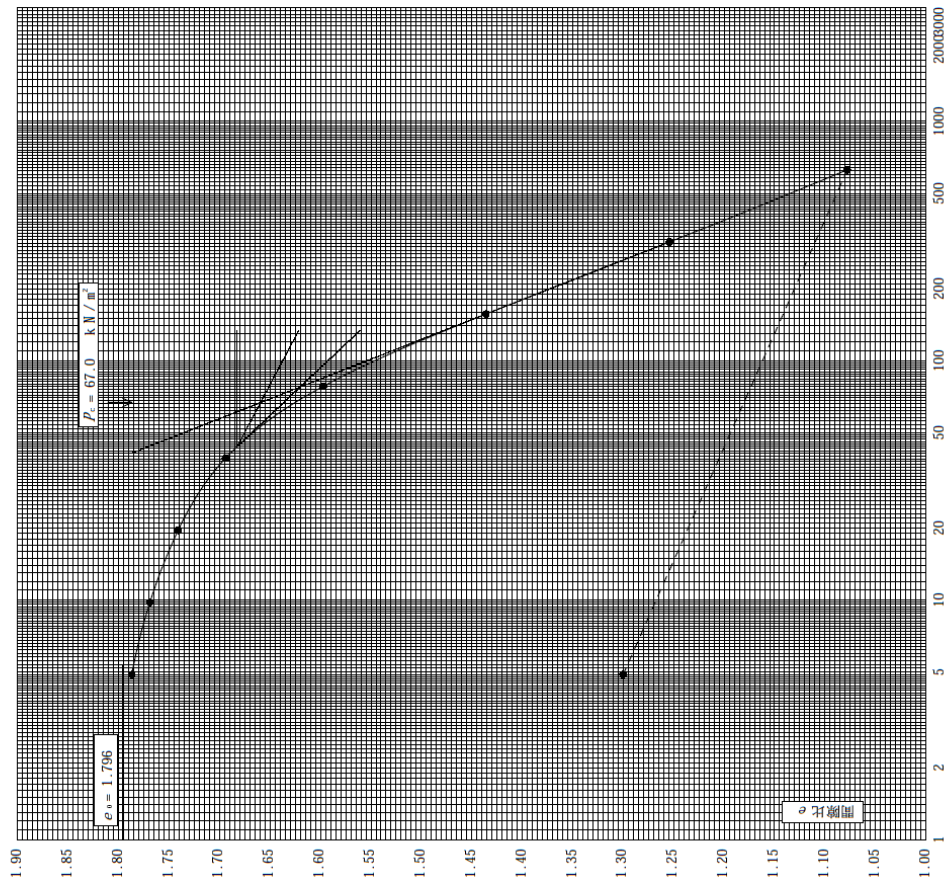
特記事項

[1kN/m<sup>2</sup>≒0.0102kgf/cm<sup>2</sup>]

JIS A 1217 JGS 0411	土の段階載荷による圧密試験 (圧縮曲線)	
------------------------	----------------------	--

調査件名 概略可能性調査その2業務委託 試験年月日 平成 21年 2月 23日

試料番号(深さ) T-1-2 (4.00~4.80m)	試験者 倉持 淳
土粒子の密度 $\rho_s$ : g/cm <sup>3</sup>	2.641
液性限界 $w_L$ %	38.2
塑性限界 $w_p$ %	26.4
初期含水比 $w_0$ %	68.1
初期空隙率 $e_0$	1.796
圧縮指数 $C_c$	0.605
圧密係数 $p_c$ : kN/m <sup>2</sup>	67.0
ひずみ速度 <sup>1)</sup> %/min	67.0



圧密圧力  $p$  (kN/m<sup>2</sup>)

特記事項

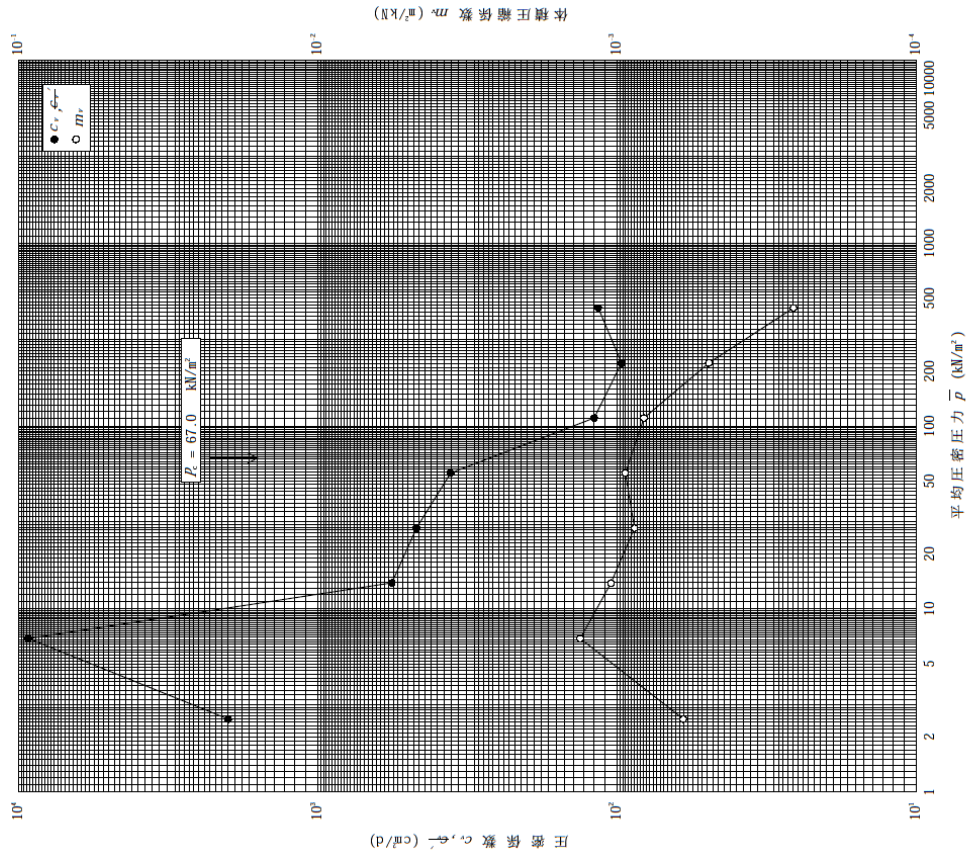
1) 定ひずみ速度載荷による圧密試験の時のみ記入する。

[1kN/m<sup>2</sup> = 0.0102kgf/cm<sup>2</sup>]

JIS A 1217 JGS 0411	土の段階載荷による圧密試験 ( $C_c, m_v, \bar{p}$ 関係)	
------------------------	---	--

調査件名 概略可能性調査その2業務委託 試験年月日 平成 21年 2月 23日

試料番号(深さ) T-1-2 (4.00~4.80m) 試験者 倉持 淳



特記事項

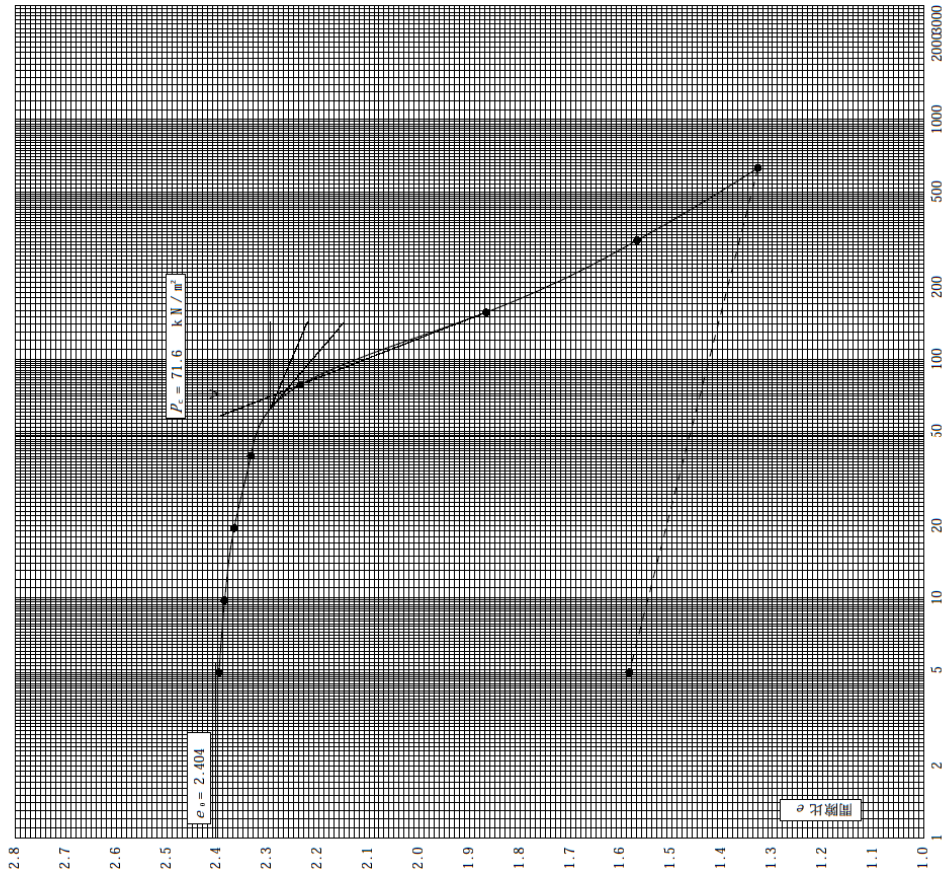
[1kN/m<sup>2</sup> = 0.0102kgf/cm<sup>2</sup>]

JIS A 1217 JCS 0411	土の段階載荷による圧密試験(圧縮曲線)
------------------------	---------------------

調査件名 概略可能性調査その2業務委託 試験年月日 平成 21年 2月 23日

試験番号(深さ) T-1-3 (6.00~6.80m) 試験者 倉持 淳

土粒子の密度 $\rho_s$ (g/cm <sup>3</sup> )	液性限界 $w_L$ (%)	塑性限界 $w_p$ (%)	初期含水比 $w_0$ (%)	初期空隙率 $e_0$	圧縮指数 $C_c$	圧密室内心力 $p_c$ (kN/m <sup>2</sup> )	ひずみ速度 <sup>1)</sup> (%/min)
2.626	55.9	33.8	92.3	2.404	1.219	71.6	



圧密圧力  $p$  (kN/m<sup>2</sup>)

特記事項

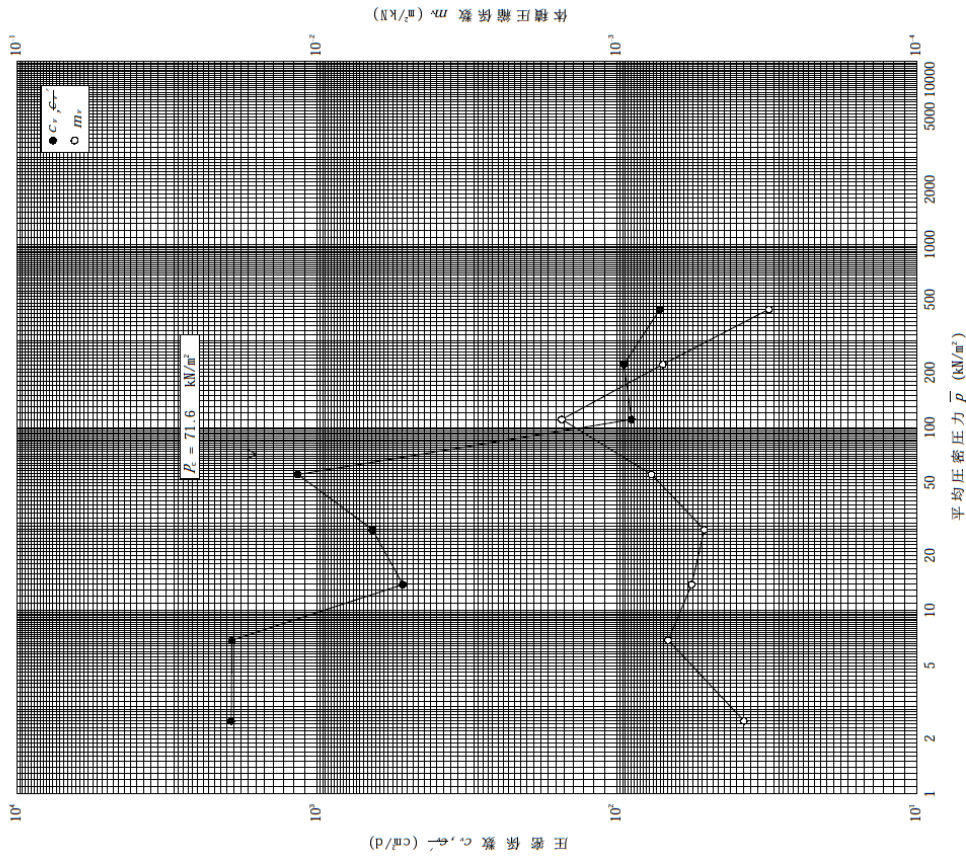
1) 定ひずみ速度載荷による圧密試験の時のみ記入する。

[1kN/m<sup>2</sup>≒0.0102kgf/cm<sup>2</sup>]

JIS A 1217 JCS 0411	土の段階載荷による圧密試験 ( $C_c, m_v, \bar{p}$ 関係)
------------------------	---

調査件名 概略可能性調査その2業務委託 試験年月日 平成 21年 2月 23日

試験番号(深さ) T-1-3 (6.00~6.80m) 試験者 倉持 淳



特記事項

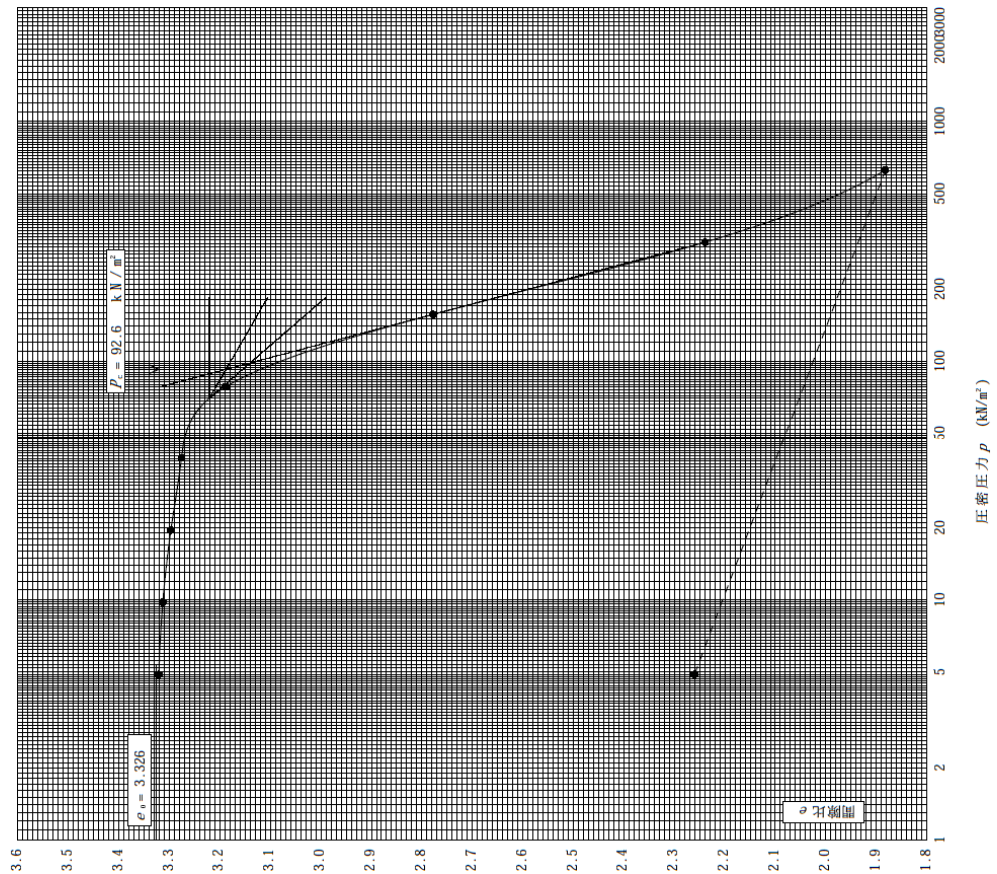
[1kN/m<sup>2</sup>≒0.0102kgf/cm<sup>2</sup>]

JIS A 1217 JGS 0411	土の段階載荷による圧密試験(圧縮曲線)
------------------------	---------------------

調査件名 概略可能性調査その2業務委託 試験年月日 平成 21年 2月 23日

試料番号(深さ) T-1-4 (15.00~15.80m) 試験者 倉持 淳

土粒子の密度 $\rho_s$ (g/cm <sup>3</sup> )	液性限界 $w_L$ (%)	塑性限界 $w_P$ (%)	初期含水比 $w_0$ (%)	初期固相比 $e_0$	圧縮指数 $C_c$	圧密終末圧力 $p_c$ (kN/m <sup>2</sup> )	ひずみ速度 <sup>1)</sup> %/min
2.627	64.5	35.0	127.0	3.326	1.791	92.6	



特記事項

1) 定ひずみ速度載荷による圧密試験の時のみ記入する。

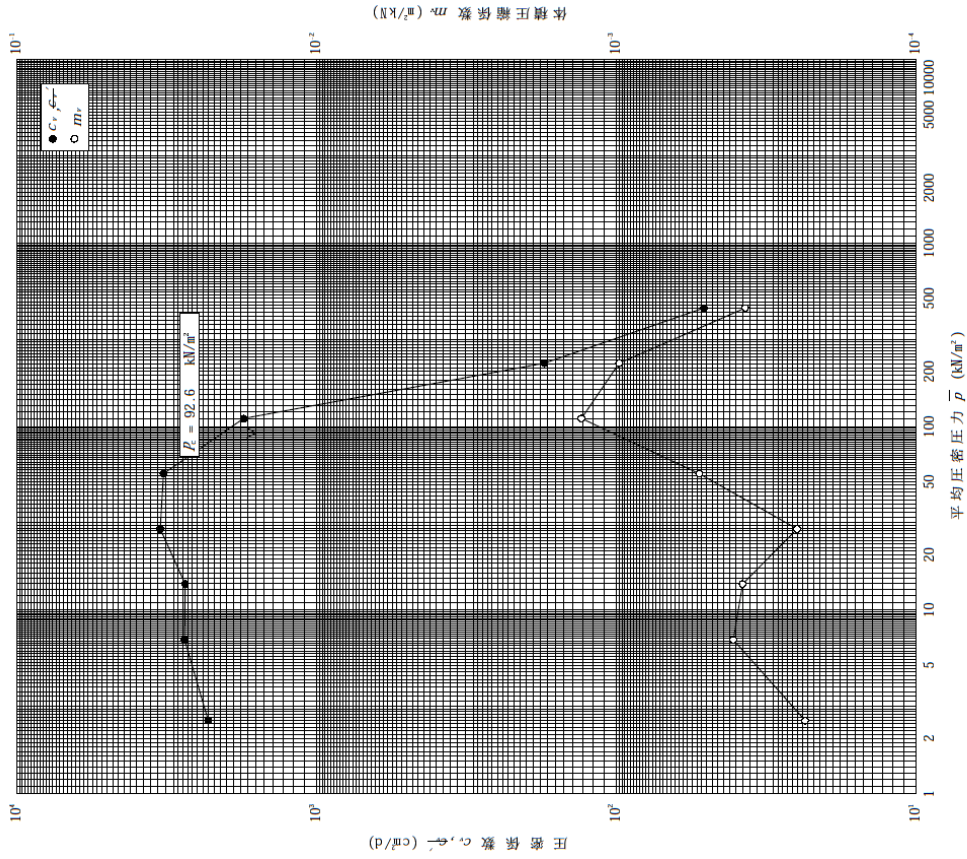
[1kN/m<sup>2</sup>≒0.0102kgf/cm<sup>2</sup>]

JIS A 1217 JGS 0411	土の段階載荷による圧密試験 ( $C_c, m_v, \bar{p}$ 関係)
------------------------	---

調査件名 概略可能性調査その2業務委託

試験年月日 平成 21年 2月 23日

試料番号(深さ) T-1-4 (15.00~15.80m) 試験者 倉持 淳



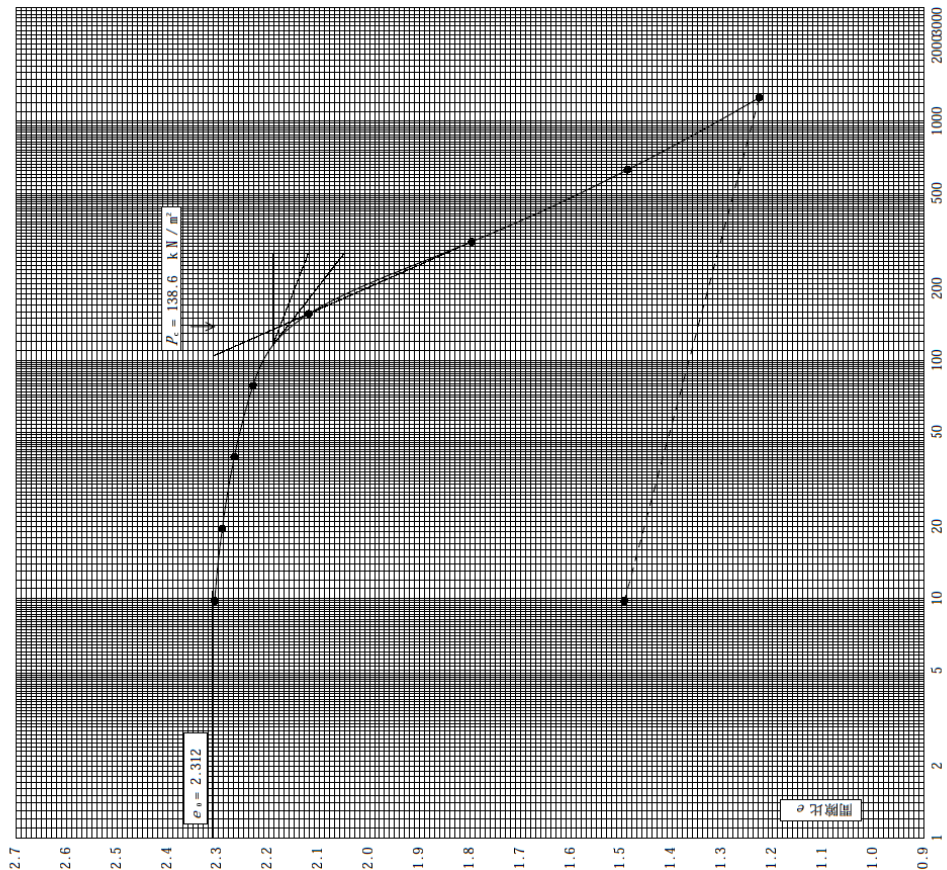
特記事項

[1kN/m<sup>2</sup>≒0.0102kgf/cm<sup>2</sup>]

JIS A 1217 JGS 0411	土の段階載荷による圧密試験 (圧縮曲線)	
------------------------	----------------------	--

調査件名 概略可能性調査その2業務委託 試験年月日 平成 21年 2月 23日

試験番号(深さ) T-1-5 (21.00~21.80m)	試験者 倉持 淳
土粒子の密度 $\rho_s$ g/cm <sup>3</sup>	2.619
液性限界 $w_L$ %	64.0
塑性限界 $w_p$ %	39.3
初期含水比 $w_0$ %	86.1
初期間隙比 $e_0$	2.312
圧縮指数 $C_c$	1.073
圧密臨界圧力 $p_c$ kN/m <sup>2</sup>	138.6
ひずみ速度 <sup>1)</sup> %/min	



圧密圧力  $p$  (kN/m<sup>2</sup>)

特記事項 1) 定ひずみ速度載荷による圧密試験の時のみ記入する。

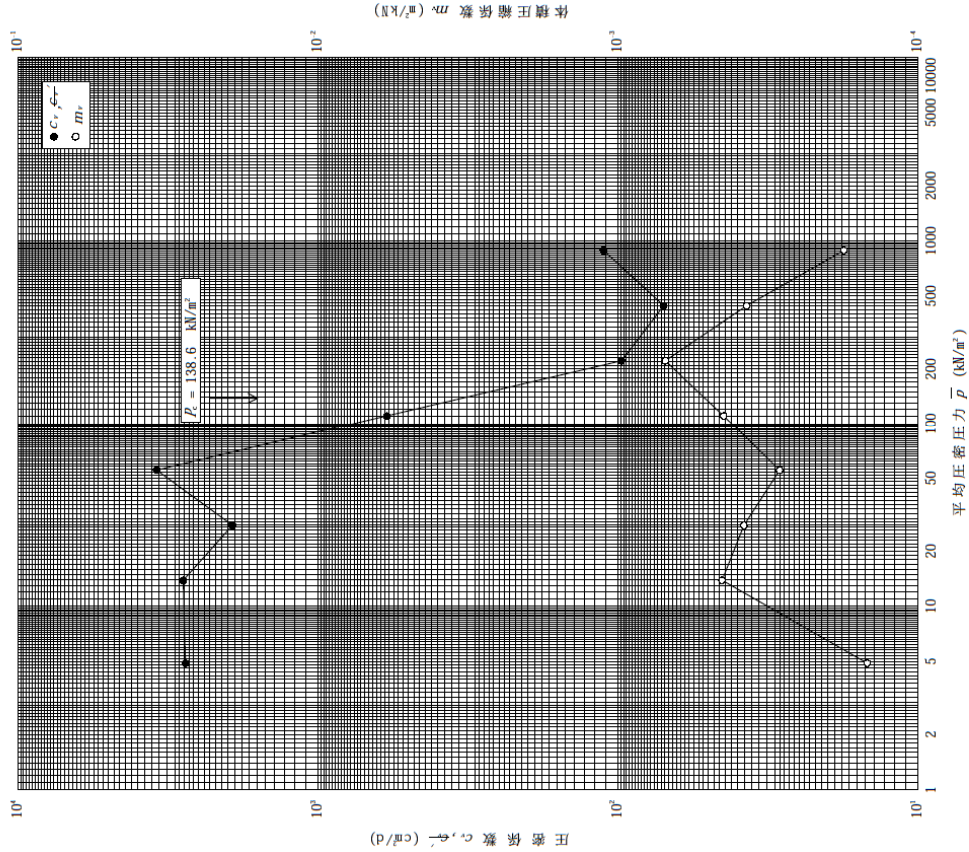
[kN/m<sup>2</sup> = 0.0102kgf/cm<sup>2</sup>]

JIS A 1217 JGS 0411	土の段階載荷による圧密試験 ( $c_v, m_v - \bar{p}$ 関係)	
------------------------	--	--

調査件名 概略可能性調査その2業務委託 試験年月日 平成 21年 2月 23日

試験番号(深さ) T-1-5 (21.00~21.80m)

試験者 倉持 淳



特記事項

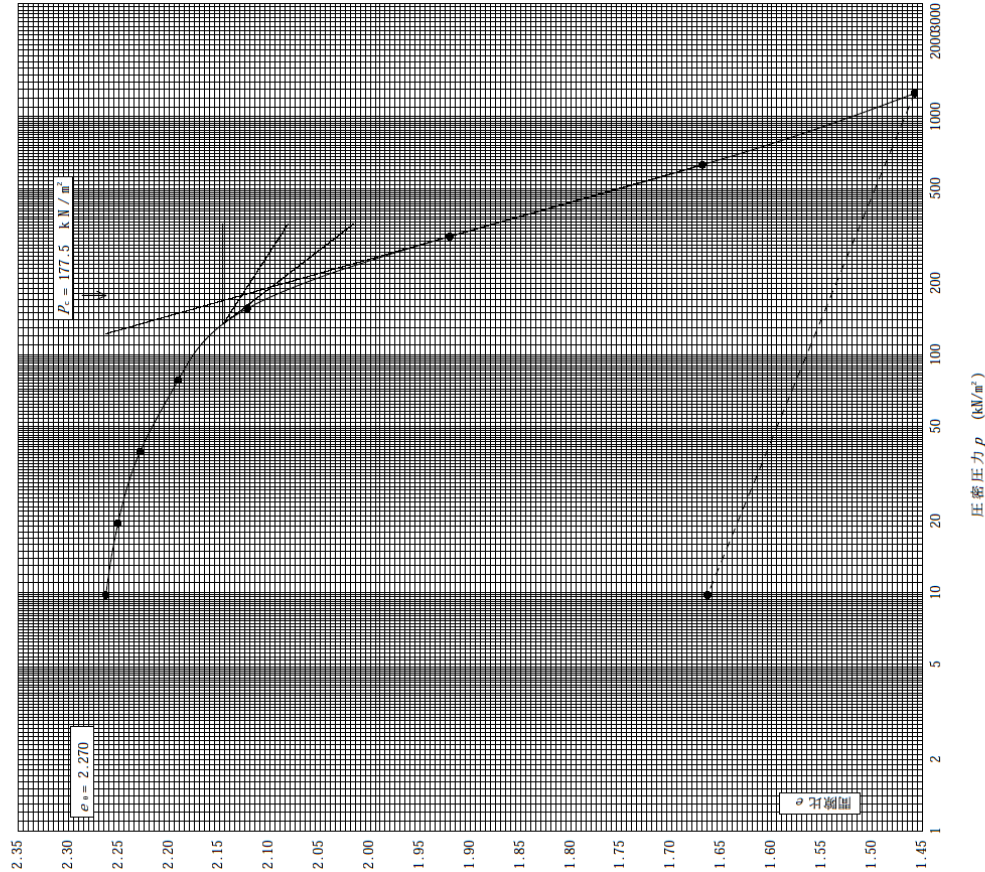
[kN/m<sup>2</sup> = 0.0102kgf/cm<sup>2</sup>]

JIS A 1217 JGS 0411	土の段階載荷による圧密試験 (圧縮曲線)
------------------------	----------------------

調査件名 概略可能性調査その2業務委託 試験年月日 平成 21年 2月 23日

試験番号(深さ) T-1-6 (26.00~26.80m) 試験者 倉持 淳

土粒子の密度 $\rho_s$ g/cm <sup>3</sup>	2.631	液性限界 $w_L$ %	64.8	塑性限界 $w_p$ %	38.5	初期含水比 $w_0$ %	85.0	初期間隙比 $e_0$	2.270	圧縮指数 $C_c$	0.837	圧密室内心力 $p_c$ kN/m <sup>2</sup>	177.5	ひずみ速度 <sup>1)</sup> %/min	
--------------------------------------	-------	-----------------	------	-----------------	------	------------------	------	----------------	-------	---------------	-------	-----------------------------------	-------	------------------------------	--



特記事項

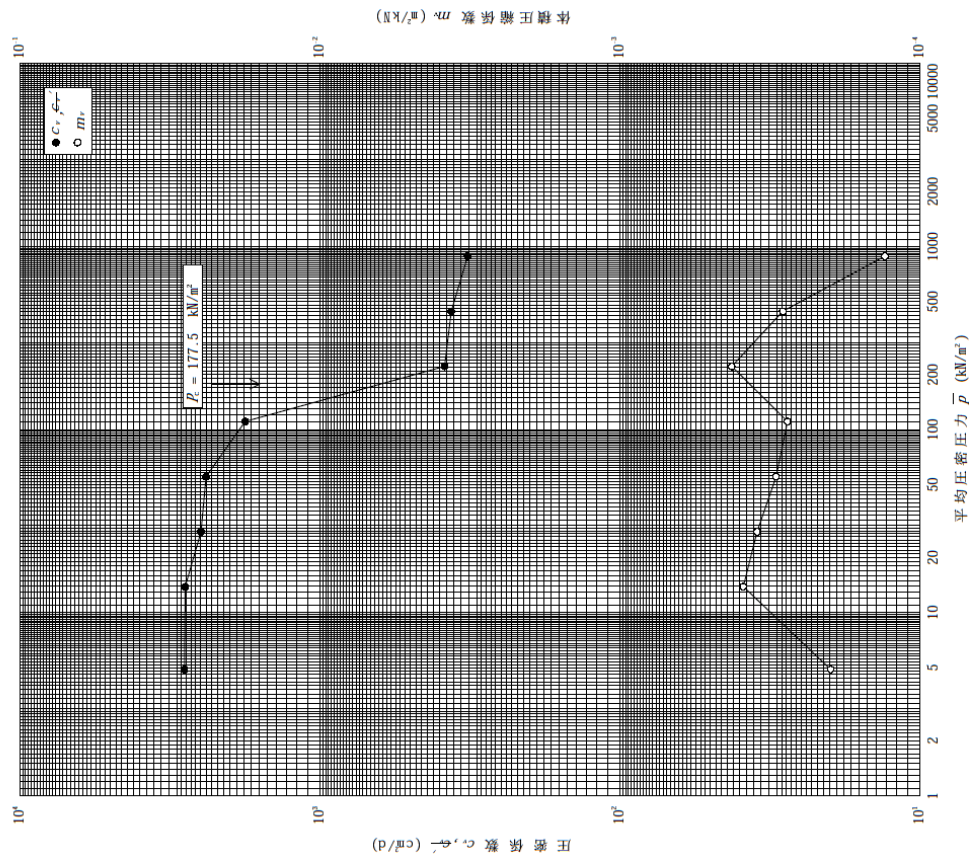
1) 定ひずみ速度載荷による圧密試験の時のみ記入する。

[1kN/m<sup>2</sup>≒0.0102kgf/cm<sup>2</sup>]

JIS A 1217 JGS 0411	土の段階載荷による圧密試験 ( $C_c, m_v, \bar{p}$ 関係)
------------------------	---

調査件名 概略可能性調査その2業務委託 試験年月日 平成 21年 2月 23日

試験番号(深さ) T-1-6 (26.00~26.80m) 試験者 倉持 淳



特記事項

[1kN/m<sup>2</sup>≒0.0102kgf/cm<sup>2</sup>]